

Algoritmi sui Grafi

Tutorato di Algoritmi e Laboratorio

Alessio Mezzina
PhD Student

DMI - UniCT

Giugno 2025

- 1 Algoritmi elementari per grafi
 - Definizioni e Notazione
 - BFS Breadth First Search
- 2 Ordinamento Topologico
- 3 Cammini minimi da sorgente unica
 - Algoritmo di Bellman–Ford
 - Cammini minimi in DAG
- 4 Cammini minimi tra tutte le coppie
 - All Pairs Shortest Path

Outline

- 1 Algoritmi elementari per grafi
 - Definizioni e Notazione
 - BFS Breadth First Search
- 2 Ordinamento Topologico
- 3 Cammini minimi da sorgente unica
- 4 Cammini minimi tra tutte le coppie

Grafi: definizioni di base

- Grafo $G = (V, E)$ orientato o non orientato
- Peso (o costo) di un arco: funzione $w : E \rightarrow \mathbb{R}$ (facoltativo)
- Grado di un vertice, cammino, ciclo, componente connessa (vediamo dopo)
- Obiettivo: rappresentare G in memoria in modo efficiente

Liste di adiacenza

- Array Adj di $|V|$ liste, una per ciascun vertice
- In $\text{Adj}[u]$ compaiono tutti i vertici v tali che $(u, v) \in E$
- Memoria necessaria: $\Theta(|V| + |E|)$
- **Vantaggi:** rappresentazione compatta per grafi sparsi ($|E| \ll |V|^2$); iterazione sugli archi uscenti in tempo proporzionale al grado di u
- **Svantaggio:** per verificare se $(u, v) \in E$ occorre cercare v in $\text{Adj}[u]$

Matrice di adiacenza

- Matrice $A \in \{0, 1\}^{|V| \times |V|}$ con $A_{ij} = 1$ se $(i, j) \in E$, 0 altrimenti
- Nei grafi non orientati la matrice è simmetrica ($A = A^T$)
- Memoria richiesta: $\Theta(|V|^2)$, indipendente da $|E|$
- **Vantaggi:** test $(u, v) \in E$ in $O(1)$; utile per grafi densi e negli algoritmi APSP basati su matrici (es. Floyd–Warshall)
- **Svantaggi:** spreco di spazio per grafi sparsi

Liste vs Matrici

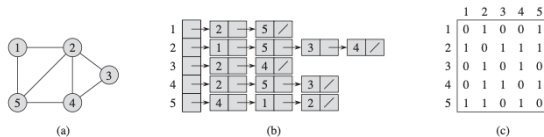


Figure 22.1 Two representations of an undirected graph. (a) An undirected graph G with 5 vertices and 7 edges. (b) An adjacency-list representation of G . (c) The adjacency-matrix representation of G .

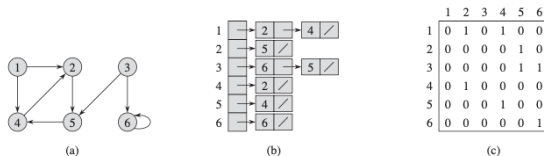


Figure 22.2 Two representations of a directed graph. (a) A directed graph G with 6 vertices and 8 edges. (b) An adjacency-list representation of G . (c) The adjacency-matrix representation of G .

- Grafi pesati: sostituiamo il valore 1 con il peso $w(u, v)$ nella matrice, oppure memorizziamo la coppia $(v, w(u, v))$ in $\text{Adj}[u]$
- Attributi di vertici/archi (es. distanza, colore) possono essere tenuti in vettori paralleli ($d[u]$) o come campi in strutture/oggetti
- Memoria rimane $\Theta(|V| + |E|)$ per le liste e $\Theta(|V|^2)$ per la matrice

BFS: obiettivi e idea generale

- Dato un grafo $G = (V, E)$ e una sorgente s , **esplora sistematicamente** tutti i vertici raggiungibili da s .
- Calcola per ogni vertice v la distanza $d(v) = \text{minimo numero di archi sul cammino da } s \text{ a } v$ (se irraggiungibile $d(v) = \infty$).
- Produce un *albero di visita in ampiezza* radicato in s : il cammino semplice da s a v nell'albero è un **shortest path** in G (rispetto al numero di archi).
- Funziona su grafi *orientati e non orientati*.
- Schema riutilizzato da algoritmi fondamentali (ad es. Prim per MST, Dijkstra per SSSP con pesi non negativi).

BFS: colori dei vertici e frontiera

- Ogni vertice è colorato **bianco**, **grigio** o **nero**:
 - bianco** non ancora scoperto;
 - grigio** scoperto ma la sua lista di adiacenza non è stata ancora scandita del tutto;
 - nero** completamente esplorato.
- I vertici grigi formano la **frontiera** tra la parte già visitata e quella ancora ignota.
- Se $(u, v) \in E$ e u è nero, allora v è grigio o nero \Rightarrow *mai* esistono archi da un vertice nero verso uno bianco.

BFS: coda FIFO e attributi

- La frontiera è gestita con una **coda FIFO** Q : estrae sempre il vertice grigio più “antico”, garantendo l'ordine per distanza.
- Attributi mantenuti per ogni $u \in V$:
 - $u.\text{color}$ – bianco, grigio, nero;
 - $u.d$ – distanza da s (intero non negativo o ∞);
 - $u.\pi$ – predecessore nell'albero BFS (oppure NIL).
- Quando un vertice bianco v viene scoperto da u :

$v.\text{color} \leftarrow \text{grigio}, v.d \leftarrow u.d + 1, v.\pi \leftarrow u, \text{enqueue}(Q, v)$

BFS: correttezza e distanze minime

- Sia $\delta(s, v)$ la **distanza minima** (in numero di archi) da s a v in G .
- **Lemma** – Al termine di BFS:

$$\forall v \in V, \quad v.d = \delta(s, v).$$

- **Idea della dimostrazione:** BFS scopre prima tutti i vertici a distanza 0, poi tutti quelli a distanza 1, poi 2, ecc. La coda FIFO assicura che un vertice venga estratto solo dopo che sono stati estratti *tutti* i vertici a distanza minore.
- L'albero BFS contiene per ogni v raggiungibile da s un cammino di lunghezza $\delta(s, v)$, quindi è uno *shortest-path tree* rispetto al conteggio degli archi.

BFS Pseudocode

BFS(G, s)

```
1  for each vertex  $u \in G.V - \{s\}$ 
2       $u.color = \text{WHITE}$ 
3       $u.d = \infty$ 
4       $u.\pi = \text{NIL}$ 
5   $s.color = \text{GRAY}$ 
6   $s.d = 0$ 
7   $s.\pi = \text{NIL}$ 
8   $Q = \emptyset$ 
9  ENQUEUE( $Q, s$ )
10 while  $Q \neq \emptyset$ 
11      $u = \text{DEQUEUE}(Q)$ 
12     for each  $v \in G.Adj[u]$ 
13         if  $v.color == \text{WHITE}$ 
14              $v.color = \text{GRAY}$ 
15              $v.d = u.d + 1$ 
16              $v.\pi = u$ 
17             ENQUEUE( $Q, v$ )
18      $u.color = \text{BLACK}$ 
```

BFS Example

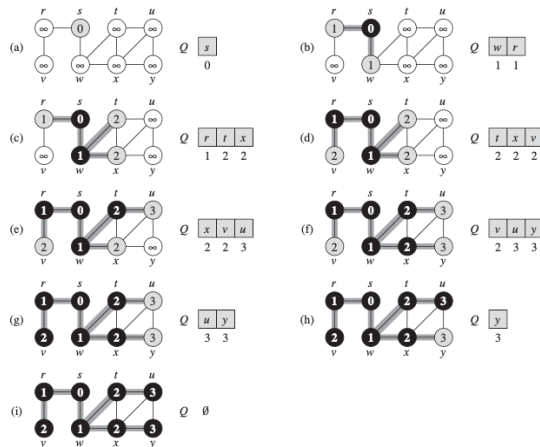


Figure 22.3 The operation of BFS on an undirected graph. Tree edges are shown shaded as they are produced by BFS. The value of $u.d$ appears within each vertex u . The queue Q is shown at the beginning of each iteration of the **while** loop of lines 10–18. Vertex distances appear below vertices in the queue.

DFS: strategia di esplorazione

- Ricerca **in profondità**: finché possibile segue un arco inesplorato dall'ultimo vertice scoperto.
- Quando un vertice u non ha più adiacenti bianchi, il processo *fa backtracking* al suo predecessore.
- Se rimangono vertici bianchi, la visita riparte da uno di essi (nuova radice) finché l'intero grafo non è stato esplorato.
- Funziona su grafi orientati e non orientati.

Foresta DFS e colori dei vertici

- L'insieme dei predecessori forma una **foresta DFS**; gli archi predecessori sono *tree edges*.
- Stati dei vertici:
 - bianco** non ancora scoperto;
 - grigio** scoperto, ma con archi uscenti da scandire;
 - nero** esplorazione completa (lista di adiacenza esaminata).
- Proprietà: se $(u, v) \in E$ e u è nero, allora v è grigio o nero (mai bianco).

Timestamp di scoperta e termine

- Variabile globale `time` incrementata a ogni evento.
- Attributi:

$v.d = \text{tempo di scoperta}, \quad v.f = \text{tempo di termine}$

con $v.d < v.f$.

- Gli intervalli $[v.d, v.f]$ codificano la struttura gerarchica della visita (*figlio* \subset intervallo *padre*).
- Utili per:
 - ordinamento topologico;
 - classificazione degli archi (tree, back, forward, cross);
 - componenti fortemente connesse (Kosaraju/Tarjan).

DFS: complessità e dipendenze dall'ordine

- Ogni vertice è colorato e terminato una sola volta; ogni arco esplorato al più una volta.
 - **Tempo:** $\Theta(|V| + |E|)$ **Spazio:** $\Theta(|V|)$ per colori, timestamp, predecessori.
 - L'ordine in cui si visitano:
 - i vertici in V (ciclo esterno);
 - gli adiacenti in $\text{Adj}[u]$
- può cambiare la foresta DFS ma non la correttezza né la complessità dell'algoritmo.

DFS PseudoCode

DFS(G)

```
1  for each vertex  $u \in G.V$ 
2       $u.color = \text{WHITE}$ 
3       $u.\pi = \text{NIL}$ 
4   $time = 0$ 
5  for each vertex  $u \in G.V$ 
6      if  $u.color == \text{WHITE}$ 
7          DFS-VISIT( $G, u$ )
```

DFS-VISIT(G, u)

```
1   $time = time + 1$                                 // white vertex  $u$  has just been discovered
2   $u.d = time$ 
3   $u.color = \text{GRAY}$ 
4  for each  $v \in G.Adj[u]$                             // explore edge  $(u, v)$ 
5      if  $v.color == \text{WHITE}$ 
6           $v.\pi = u$ 
7          DFS-VISIT( $G, v$ )
8   $u.color = \text{BLACK}$                                 // blacken  $u$ ; it is finished
9   $time = time + 1$ 
10  $u.f = time$ 
```

DFS Example

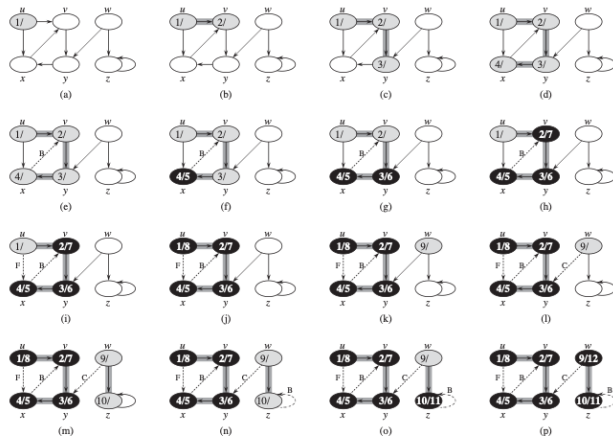


Figure 22.4 The progress of the depth-first-search algorithm DFS on a directed graph. As edges are explored by the algorithm, they are shown as either shaded (if they are tree edges) or dashed (otherwise). Nontree edges are labeled B, C, or F according to whether they are back, cross, or forward edges. Timestamps within vertices indicate discovery time/finishing times.

DFS: classificazione degli archi

- Durante la visita, ogni arco (u, v) ricade in **uno** dei seguenti tipi rispetto alla foresta DFS:
 - Archi d'albero** (tree): (u, v) scopre per la prima volta v .
 - Archi all'indietro** (back): collegano u a un *antenato* di u (self-loop incluso).
 - Archi in avanti** (forward): collegano u a un *discendente* di u distinto da un arco d'albero.
 - Archi trasversali** (cross): tutti gli altri; collegano nodi in sotto-alberi diversi o dello stesso livello senza rapporto antenato-discendente.
- Queste categorie aiutano a riconoscere proprietà del grafo (es. aciclicità nei digrafi).

Come determinare il tipo di un arco

- Quando esploriamo (u, v) :

Colore di v	Tipo di arco
bianco	tree
grigio	back
nero	<i>forward oppure cross</i>

- Caso nero:

$$\begin{cases} u.d < v.d & \implies \text{forward} \\ u.d > v.d & \implies \text{cross} \end{cases}$$

dove $x.d$ è il timestamp di scoperta.

- Nei **grafi non orientati** compaiono solo tree e back-edges (forward/cross non possono esistere).

Outline

- 1 Algoritmi elementari per grafi
- 2 Ordinamento Topologico**
- 3 Cammini minimi da sorgente unica
- 4 Cammini minimi tra tutte le coppie

Ordinamento topologico: definizione e contesto

- Un **ordinamento topologico** di un digrafo aciclico (DAG) $G = (V, E)$ è una disposizione lineare dei vertici tale che

$$(u, v) \in E \implies u \text{ precede } v.$$

- Utile per problemi di precedenza (compilazione, pianificazione, pipeline...).
- Esempio classico: ordinare i capi di vestiario del prof. Bumstead (calzini \rightarrow scarpe, pantaloni prima della cintura, ecc.).
- Se G contiene un ciclo diretto \Rightarrow nessun ordinamento lineare è possibile.

Topological-Sort via Depth-First Search

- 1 Esegui **DFS** su G e registra per ogni vertice v il tempo di fine $v.f$.
- 2 Al termine di ogni visita, **inserisci v in testa** a una lista concatenata.
- 3 Restituisci la lista: i vertici appaiono in **ordine decrescente** di $v.f$.

Correttezza

Se $(u, v) \in E$, DFS garantisce $v.f < u.f \Rightarrow u$ compare prima di v nella lista.

Complessità

$\Theta(|V| + |E|)$ (tempo e spazio, dominati dalla DFS).

Outline

- 1 Algoritmi elementari per grafi
- 2 Ordinamento Topologico
- 3 Cammini minimi da sorgente unica
 - Algoritmo di Bellman–Ford
 - Cammini minimi in DAG
- 4 Cammini minimi tra tutte le coppie

Cammini minimi: motivazione e modello

- Dato un digrafo *pesato* $G = (V, E)$ con funzione dei pesi $w : E \rightarrow \mathbb{R}$.
- Esempio: mappa stradale (nodi = incroci, archi = tratti di strada, peso = distanza, tempo o costo).
- Obiettivo generico:
Trovare il cammino a peso minimo fra due (o più) vertici.
- Applicazioni: routing, pianificazione, reti di progetto, bioinformatica, robotica ...

Definizioni formali

- **Peso di un cammino**

Per $p = \langle v_0, v_1, \dots, v_k \rangle$:

$$w(p) = \sum_{i=1}^k w(v_{i-1}, v_i).$$

- **Peso minimo** (*shortest-path weight*)

$$\delta(u, v) = \begin{cases} \min_{p: u \rightsquigarrow v} w(p) & \text{se esiste un cammino,} \\ \infty & \text{altrimenti.} \end{cases}$$

- **Cammino minimo** da u a v : qualsiasi cammino p con $w(p) = \delta(u, v)$.

Varianti del problema

- **Single-source** (SSSP): da s a tutti i vertici. \rightarrow focus di questo capitolo.
- Single-destination: verso t da tutti i vertici (basta invertire gli archi).
- Single-pair: da u a v (stesso costo asintotico di SSSP).
- All-pairs (APSP): da ogni u a ogni v (algoritmi dedicati, vedi Cap. 25).

Pesi negativi e cicli a peso negativo

- I pesi possono essere negativi (penalità, credito, guadagno-costi).
- Se esiste un **ciclo a peso negativo** raggiungibile da s , le distanze non sono ben definite:

$$\delta(s, v) = -\infty \quad \text{per ogni } v \text{ raggiungibile dal ciclo.}$$

- Algoritmi:

Dijkstra richiede $w(e) \geq 0$.

Bellman-Ford ammette pesi negativi e *rileva* cicli a peso negativo.

- Un cammino minimo non contiene cicli a peso positivo (li si può eliminare e ottenere un cammino più breve).
- Nemmeno cicli negativi, per definizione.
- I cicli a peso 0 possono essere rimossi \Rightarrow esiste sempre un cammino minimo *semplice* di al più $|V| - 1$ archi.

Predecessori e albero dei cammini minimi

- Ogni vertice v mantiene $v.\pi$ (predecessore) e $v.d$ (stima di distanza).
- Il sottografo indotto dalle predecessori

$$G_\pi = (V_\pi, E_\pi), \quad V_\pi = \{v : \pi(v) \neq \text{NIL}\} \cup \{s\}$$

costituisce un **shortest-paths tree** quando per ogni v raggiungibile da s la strada in G_π è un cammino minimo in G .

Inizializzazione e rilassamento

Algorithm 1 INITIALIZE-SINGLE-SOURCE(G, s)

```
1: for ogni  $v \in V$  do  
2:    $v.d \leftarrow +\infty, \quad v.\pi \leftarrow \text{NIL}$   
3: end for  
4:  $s.d \leftarrow 0$ 
```

Algorithm 2 RELAX(u, v, w)

```
1: if  $v.d > u.d + w(u, v)$  then  
2:    $v.d \leftarrow u.d + w(u, v)$   
3:    $v.\pi \leftarrow u$   
4: end if
```

- Rilassare un arco può solo diminuire le stime $v.d$.
- Gli algoritmi SSSP differiscono nel numero e nell'ordine delle rilassamenti.

Bellman–Ford: panoramica

- Risolve SSSP su grafi **con pesi negativi**
- Output:
 - ① **Boolean** – TRUE se non c'è alcun ciclo negativo raggiungibile da s , FALSE altrimenti.
 - ② Distanze $\delta(s, v)$ e predecessori che formano un *shortest-paths tree* se l'esito è TRUE.
- Idea chiave: **rilassare** tutti gli archi $|V| - 1$ volte per far “diffondere” le distanze corrette lungo cammini di lunghezza al più $|V| - 1$ archi.

Passi principali dell'algoritmo

- 1 **Initialize-Single-Source**(G, s):
 $s.d \leftarrow 0$, $v.d \leftarrow +\infty$ e $v.\pi \leftarrow \text{NIL}$ per $v \neq s$.
- 2 **Fase di rilassamento** ($|V| - 1$ iterazioni):
for $(u, v) \in E$ do RELAX(u, v, w).
- 3 **Verifica cicli negativi**:
se esiste (u, v) con $v.d > u.d + w(u, v) \Rightarrow$ ciclo a peso < 0 raggiungibile.

Osservazione: dopo k -esima iterazione, tutte le distanze corrette su cammini di $\leq k$ archi sono state propagate.

Correttezza: idea della dimostrazione

- **Invariante:** dopo i iterazioni di rilassamento, $v.d \leq \delta(s, v)$ per ogni v , e per cammini di $\leq i$ archi vale l'uguaglianza.
- Dopo $|V| - 1$ iterazioni ogni cammino semplice (al più $|V| - 1$ archi) è stato considerato $\Rightarrow v.d = \delta(s, v)$.
- Test finale: se una distanza può ancora diminuire, esiste un ciclo negativo raggiungibile da s . (Una catena di $|V|$ rilassamenti implicherebbe percorso $\geq |V|$ archi \Rightarrow qualche ciclo.)

- **Tempo:** $O(|V| \cdot |E|)$ (init + $(|V| - 1)$ pass + test finale).
- **Spazio:** $O(|V|)$ per distanze, predecessori e coda di archi.
- Utilizzabile quando:
 - pesi negativi ma assenza (o rilevazione) di cicli negativi;
 - si vuole calcolare potenziali per trasformare i pesi (alg. di Johnson).
- Su grafi sparsi piccoli o medi può competere con Dijkstra (implementazione semplice).

Bellman–Ford: pseudocodice

Algorithm 3 Bellman–Ford(G, w, s)

```
1: Initialize-Single-Source( $G, s$ )
2: for  $i = 1$  to  $|V| - 1$  do
3:   for ogni  $(u, v) \in E$  do
4:     Relax( $u, v, w$ )
5:   end for
6: end for
7: for ogni  $(u, v) \in E$  do
8:   if  $d[v] > d[u] + w(u, v)$  then
9:     return FALSE
10:  end if
11: end for
12: return TRUE
```

▷ ciclo negativo trovato

Example

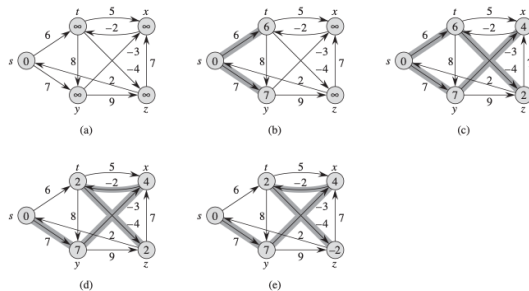


Figure 24.4 The execution of the Bellman-Ford algorithm. The source is vertex s . The d values appear within the vertices, and shaded edges indicate predecessor values: if edge (u, v) is shaded, then $v.\pi = u$. In this particular example, each pass relaxes the edges in the order (t, x) , (t, y) , (t, z) , (x, t) , (y, x) , (y, z) , (z, x) , (z, s) , (s, t) , (s, y) . (a) The situation just before the first pass over the edges. (b)–(e) The situation after each successive pass over the edges. The d and π values in part (e) are the final values. The Bellman-Ford algorithm returns TRUE in this example.

- Un grafo aciclico orientato permette topological sort in $O(V + E)$
- Una volta ordinati, basta rilassare gli archi in ordine topologico
- Complessità totale: $O(V + E)$

DAG Shortest Paths: pseudocode

Algorithm 4 DAG-Shortest-Paths(G, w, s)

```
1: Topological-Sort( $G$ )
2: Initialize-Single-Source( $G, s$ )
3: for ogni  $u$  nell'ordine topologico do
4:   for ogni  $(u, v) \in E$  do
5:     Relax( $u, v, w$ )
6:   end for
7: end for
```

Dijkstra: requisiti e idea

- Input: grafo orientato $G = (V, E)$ con **pesi non negativi**, sorgente s .
- Mantiene un insieme S di vertici con distanza definitiva $\delta(s, v)$ già stabilita.
- Passo chiave (greedy): estrai da una *min-priority queue* il vertice $u \notin S$ con stima minima $u.d$; quel valore è già ottimo \Rightarrow inserisci u in S e rilassa gli archi uscenti.

Algoritmo (scheletro)

- 1 INITIALIZE-SINGLE-SOURCE(G, s).
- 2 $S \leftarrow \emptyset$, $Q \leftarrow V$ (coda di priorità su $v.d$).
- 3 **while** $Q \neq \emptyset$
 - 1 $u \leftarrow \text{EXTRACT-MIN}(Q)$
 - 2 $S \leftarrow S \cup \{u\}$
 - 3 **for** $(u, v) \in E$ **do** RELAX(u, v, w)

Invariante: prima di ogni estrazione S contiene i vertici con distanza definitiva, $Q = V \setminus S$.

Correttezza (intuizione)

- $\text{Pesi} \geq 0 \Rightarrow$ i cammini che passano per vertici già in S non possono migliorare le stime di vertici ancora in Q .
- Quando u è estratto, qualsiasi cammino $s \rightsquigarrow v$ con $v \in Q$ ha peso $\geq u.d$; quindi $u.d = \delta(s, u)$.
- Dopo $|V|$ estrazioni tutte le distanze sono definitive e i predecessori formano lo *shortest-paths tree*.

Implementazioni e complessità

Struttura della coda	Tempo	Spazio
Array lineare	$O(V ^2)$	$O(V)$
Heap binario	$O((V + E) \log V)$	$O(V)$
Fibonacci heap	$O(V \log V + E)$	$O(V)$

- Navigazione stradale, routing IP (OSPF), robot path planning.
- Pre-processing in algoritmo di Johnson per APSP.
- **Limite:** fallisce con pesi negativi (può restituire distanze errate).
- Varianti:
 - A^* : aggiunge euristica ammissibile per velocizzare la ricerca.
 - *Dial's* e *Radix heap*: ottimizzazioni quando i pesi sono interi piccoli.

Outline

- 1 Algoritmi elementari per grafi
- 2 Ordinamento Topologico
- 3 Cammini minimi da sorgente unica
- 4 **Cammini minimi tra tutte le coppie**
 - All Pairs Shortest Path

APSP via programmazione dinamica (min-plus)

- Vogliamo le distanze minime tra *tutte* le coppie di vertici in un digrafo pesato $G = (V, E)$, $n = |V|$.
- Idea: calcolare iterativamente $L^{(m)} = (\ell_{ij}^{(m)})$ dove

$\ell_{ij}^{(m)}$ = peso minimo di un cammino $i \rightarrow j$ con $\leq m$ archi.

- Osservazione chiave (Lemma 24.1): *ogni sottocammino di un cammino minimo è minimo*
 \Rightarrow cammino minimo ha $\leq n - 1$ archi.

Ricorrenza (*min*, + “moltiplicazione”)

$$\ell_{ij}^{(0)} = \begin{cases} 0 & i = j, \\ +\infty & i \neq j, \end{cases} \quad \ell_{ij}^{(m)} = \min_{1 \leq k \leq n} \{ \ell_{ik}^{(m-1)} + w_{kj} \}.$$

- L'operazione è analoga alla moltiplicazione di matrici, ma con $+\rightarrow \min$ e $\times \rightarrow +$ (**semianello min-plus**).
- Definiamo il **prodotto min-plus** $A \otimes B$: $(A \otimes B)_{ij} = \min_k \{ a_{ik} + b_{kj} \}.$

Algorithm 5

```
1: for  $i = 1$  to  $n$  do  
2:   for  $j = 1$  to  $n$  do  
3:      $\ell'_{ij} \leftarrow +\infty$   
4:     for  $k = 1$  to  $n$  do  
5:        $\ell'_{ij} \leftarrow \min\{\ell'_{ij}, \ell_{ik} + w_{kj}\}$   
6:     end for  
7:   end for  
8: end for
```

Tempo $\Theta(n^3)$

Algoritmo Slow-All-Pairs-Shortest-Paths

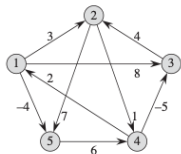
① $L^{(1)} \leftarrow W.$

② **for** $m = 2$ **to** $n - 1$ **do**
 $L^{(m)} \leftarrow L^{(m-1)} \otimes W.$

$$L^{(n-1)} = W^{\otimes(n-1)} \implies \delta(i, j) = \ell_{ij}^{(n-1)}.$$

$\Theta(n^4)$ tempo, $\Theta(n^2)$ spazio

Example



$$L^{(1)} = \begin{pmatrix} 0 & 3 & 8 & \infty & -4 \\ \infty & 0 & \infty & 1 & 7 \\ \infty & 4 & 0 & \infty & \infty \\ 2 & \infty & -5 & 0 & \infty \\ \infty & \infty & \infty & 6 & 0 \end{pmatrix} \quad L^{(2)} = \begin{pmatrix} 0 & 3 & 8 & 2 & -4 \\ 3 & 0 & -4 & 1 & 7 \\ \infty & 4 & 0 & 5 & 11 \\ 2 & -1 & -5 & 0 & -2 \\ 8 & \infty & 1 & 6 & 0 \end{pmatrix}$$

$$L^{(3)} = \begin{pmatrix} 0 & 3 & -3 & 2 & -4 \\ 3 & 0 & -4 & 1 & -1 \\ 7 & 4 & 0 & 5 & 11 \\ 2 & -1 & -5 & 0 & -2 \\ 8 & 5 & 1 & 6 & 0 \end{pmatrix} \quad L^{(4)} = \begin{pmatrix} 0 & 1 & -3 & 2 & -4 \\ 3 & 0 & -4 & 1 & -1 \\ 7 & 4 & 0 & 5 & 3 \\ 2 & -1 & -5 & 0 & -2 \\ 8 & 5 & 1 & 6 & 0 \end{pmatrix}$$

Figure 25.1 A directed graph and the sequence of matrices $L^{(m)}$ computed by SLOW-ALL-PAIRS-SHORTEST-PATHS. You might want to verify that $L^{(5)}$, defined as $L^{(4)} \cdot W$, equals $L^{(4)}$, and thus $L^{(m)} = L^{(4)}$ for all $m \geq 4$.

Accelerazione con *repeated squaring*

- Il prodotto min-plus è *associativo* \implies possiamo usare le potenze:

$$W^{\otimes 2}, W^{\otimes 4}, W^{\otimes 8}, \dots$$

- Basta calcolare $W^{\otimes 2^{\lceil \log_2(n-1) \rceil}}$ con $\mathbf{dlg}(n-1)$ e moltiplicazioni.

Algorithm 6

```
1:  $L \leftarrow W, \quad m \leftarrow 1$   
2: while  $m < n - 1$  do  
3:    $L \leftarrow L \otimes L$   $\triangleright L \leftarrow W^{\otimes 2m}$   
4:    $m \leftarrow 2m$   
5: end while  
6: return  $L$ 
```

$\Theta(n^3 \log n)$ tempo, $\Theta(n^2)$ spazio

Floyd–Warshall: idea di base

- Vertici numerati $1, \dots, n$.
- $d_{ij}^{(k)}$ = peso minimo di un cammino $i \rightarrow j$ i cui *vertici intermedi* appartengono all'insieme $\{1, \dots, k\}$ (estremi esclusi).
- Caso $k = 0$: nessun intermedio $\Rightarrow d_{ij}^{(0)} = w_{ij}$.
- Caso generale ($k \geq 1$):

$$d_{ij}^{(k)} = \min \left\{ d_{ij}^{(k-1)}, d_{ik}^{(k-1)} + d_{kj}^{(k-1)} \right\}.$$

- Se il cammino minimo *non* usa k , resta $d_{ij}^{(k-1)}$.
- Se lo usa, si concatena il cammino $i \rightarrow k$ con $k \rightarrow j$ (entrambi con intermedi $\leq k - 1$).

Algorithm 7 FLOYD-WARSHALL(W)

```
1:  $D \leftarrow W$ 
2: for  $k = 1$  to  $n$  do
3:   for  $i = 1$  to  $n$  do
4:     for  $j = 1$  to  $n$  do
5:        $D_{ij} \leftarrow \min\{D_{ij}, D_{ik} + D_{kj}\}$ 
6:     end for
7:   end for
8: end for
9: return  $D$ 
```

$\triangleright d_{ij}^{(0)} = w_{ij}$

$\triangleright d_{ij}^{(n)} = \delta(i, j)$

$\Theta(n^3)$ tempo, $\Theta(n^2)$ spazio.

- Ogni iterazione k “sblocca” il vertice k come possibile intermedio.
- La tripla `for` corrisponde a un *min-plus update* sull'intera matrice.
- Dopo il passo k , la riga i e la colonna j tengono conto dei cammini che possono passare per k .

Costruzione dei cammini minimi

- Manteniamo anche la matrice dei predecessori $\Pi^{(k)}$:

$$\pi_{ij}^{(0)} = \begin{cases} \text{nil} & i = j \text{ o } w_{ij} = +\infty, \\ i & \text{altrimenti.} \end{cases}$$

- Aggiornamento:

$$\text{se } D_{ik} + D_{kj} < D_{ij} \text{ allora } \begin{cases} D_{ij} \leftarrow D_{ik} + D_{kj} \\ \pi_{ij} \leftarrow \pi_{kj} \end{cases}$$

- A fine algoritmo, Π permette $\text{Print-Path}(i, j)$ in $O(\ell)$ (dove ℓ = numero archi del cammino).

- **Pro:**

- algoritmo compatto, costante nascosta piccola;
- gestisce pesi negativi (ma *non* cicli negativi).

- **Contro:**

- complessità $O(n^3) \Rightarrow$ adatto a grafi densi o $n \lesssim 5000$.
- spazio $O(n^2)$.

- Alternativa per grafi sparsi: algoritmo di Johnson $O(n^2 \log n + n|E|)$.

Riferimenti bibliografici



T. H. Cormen, C. E. Leiserson, R. L. Rivest, C. Stein, *Introduction to Algorithms*, 3rd Ed., MIT Press, 2009.



T. H. Cormen, C. E. Leiserson, R. L. Rivest, C. Stein, *Introduzione agli algoritmi e strutture dati*, 3/ed, McGraw-Hill Italia, 2010.